

بررسی ویژگیهای مهندسی نمونه‌هایی از سنگ‌های ساختمانی در چرخه‌های انجماد و ذوب آب

محمد رضا نیکودل^{*}، امین جمشیدی

گروه زمین شناسی مهندسی، دانشکده علوم پایه، دانشگاه تربیت مدرس، تهران، ایران

^{*}مسئول مکاتبات-آدرس الکترونیکی: nikudelm@modares.ac.ir

(دریافت: ۸۸/۶/۱۵؛ پذیرش: ۸۸/۱۲/۱۵)

چکیده

مصالح سنگی از جمله مصالح طبیعی و پر مصرف در ساخت انواع سازه‌های مهندسی، به ویژه ساختمان‌ها هستند. از مهمترین عوامل محیطی که باعث تغییر در ویژگی‌های مهندسی، مقاومت و طول دوام سنگ‌ها می‌شود، چرخه‌های انجماد و ذوب آب است. در این تحقیق ۱۴ نمونه سنگ ساختمانی با منشأهای مختلف تهییه شد، سپس آزمایش انجماد و ذوب آب تا ۳۰ چرخه انجام شد و بعد از هر ۵ چرخه مقادیر ویژگی‌های مهندسی این سنگ‌ها شامل مقاومت کششی برزیلین، شاخص مقاومت بار نقطه‌ای و سرعت موج P تعیین شد. نتایج نشان می‌دهد با افزایش چرخه‌های انجماد و ذوب، مقادیر این ویژگی‌ها کاهش پیدا کرده است. علاوه بر این، نمونه‌هایی که تخلخل مؤثر بالاتر از ۱ درصد داشته‌اند کاهش بیشتری در مقاومت کششی برزیلین، شاخص مقاومت بار نقطه‌ای و سرعت موج P آنها رخ داده است. همچنین نتایج نشان می‌دهد تخلخل مؤثر نقش مهمتری نسبت به ترکیب کانی‌شناسی و منشاء سنگ در تغییرات ویژگی‌های مهندسی نمونه‌ها در آزمایش انجماد و ذوب آب داشته است. در پایان با توجه به نتایج به دست آمده مناسبترین سنگ‌ها برای استفاده در مناطقی که احتمال انجماد و ذوب آب وجود دارد پیشنهاد شده است.

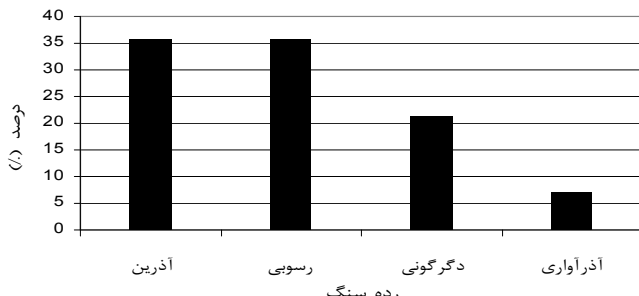
واژه‌های کلیدی: انجماد و ذوب آب، مقاومت کششی برزیلین، شاخص مقاومت بار نقطه‌ای، سرعت موج P، تخلخل مؤثر

مقدمه

سنگی یکی از مصالح پر مصرف در ساختمان‌سازی و کارهای عمرانی هستند که از دیرباز به دلیل در دسترس بودن و فراوانی مورد استفاده بوده‌اند. سنگ‌هایی که در بیرون از ساختمان‌ها مورد استفاده قرار می‌گیرند ضروری است در برابر شرایط اقلیمی متغیر و شدید از جمله تغییرات دمای محیط مقاوم باشند. یکی از مهمترین عوامل محیطی که باعث تغییرات در ویژگی‌های مهندسی، مقاومت و طول دوام سنگ‌ها می‌شود چرخه‌های انجماد و ذوب است. بنابراین ضروری است تأثیر این عامل روی سنگ‌های مختلف بررسی شود و مناسبترین سنگ از لحاظ مقاومت و دوام پیشنهاد شود. آبی که در داخل حفرات و ریزترک‌های سنگ خواهد داشت که باعث اعمال فشار به حفرات و ریزترک‌ها می‌شود (Bell 2000). افزایش چرخه‌های انجماد و ذوب آب باعث بزرگتر شدن و توسعه حفرات و ریزترک‌ها می‌شود، در نتیجه سنگ ضعیف و سست تر خواهد شد و موجب کاهش طول دوام آن می‌شود. ترکیبی از فاکتورهایی مانند انبساط حجمی حاصل از تبدیل شدن آب به یخ، درجه اشباع، تخلخل مؤثر، توزیع اندازه حفرات و پیوستگی حفرات به همدیگر روی عمل انجماد و ذوب آب تأثیر دارند

(Winkler 1994). همچنین (Chen *et al.* 2004) بیان کردند که تخریب سنگ توسط عمل انجماد و ذوب آب به پارامترهای تخلخل، توزیع اندازه حفرات، درجه اشباع، نوع کانی‌ها، منشاء سنگ و دامنه تغییرات دمای محیط بستگی دارد. در مطالعات گذشته محققین جنبه‌های مختلف انجماد و ذوب آب روی ویژگی‌های سنگ‌ها را بررسی کرده‌اند (Topal & Doyuran 1998, Hale & Shakoor 2003, Chen *et al.* 2003, Hale & Shakoor 2003, Chen *et al.* 2004, Yavaz *et al.* 2006, Ruedrich & Siegesmund 2007). نتایج تحقیقات (Hale & Shakoor 2003) روی نمونه‌هایی از ماسه سنگ‌ها در چرخه‌های انجماد و ذوب آب نشان داد نمونه‌هایی با مقدار تخلخل بین ۲ تا ۷ درصد، کاهش قابل توجهی در مقاومت فشاری تک محوری آنها به علت چرخه‌های انجماد و ذوب آب رخ داده است. (Chen *et al.* 2004) تأثیر درجه اشباع روی زوال پذیری توفها در چرخه‌های انجماد و ذوب آب را بررسی کردند. این محققین به این نتیجه رسیدند هنگامی که مقدار درجه اشباع نمونه‌ها به بیش از ۷۰ درصد می‌رسد، تغییرات قابل توجهی در مقاومت فشاری تک محوری و سرعت موج P نمونه‌ها رخ می‌دهد. (Yavuz *et al.* 2006) ویژگی‌های مهندسی نمونه‌هایی از سنگ‌های کربناته شامل مقاومت فشاری تک محوری، سرعت موج P و سختی چکش اشمتیت در چرخه‌های انجماد

به پارامترهای ذاتی سنگ از جمله ترکیب کانی‌شناسی بستگی دارد. سنگ‌ها به دلیل دارا بودن کانی‌های تشکیل دهنده متفاوت، دوام‌های متفاوتی در برابر این عامل از خود نشان می‌دهند. در این تحقیق با تهیه مقطع نازک از نمونه‌ها، ترکیب کانی‌شناسی آنها در زیر میکروسکوپ پلازیزان مورد مطالعه قرار گرفته و نتایج آن در جدول ۱ ارائه شده است. همچنین در شکل ۱ نوع و نسبت سنگ‌های ساختمانی مورد مطالعه آورده شده است (جدول ۱ و شکل ۱).



شکل ۱- نوع و نسبت سنگ‌های ساختمانی مورد مطالعه در این تحقیق.

ویژگی‌های فیزیکی

برای تعیین ویژگی‌های فیزیکی شامل دانسیته، وزن مخصوص (GS)، تخلخل و جذب آب از روش استاندارد (ISRM 1981) استفاده شده است. نتایج میانگین مقادیر به دست آمده از آزمایش‌های تعیین ویژگی‌های فیزیکی نمونه‌ها در جدول ۲ و شکل‌های ۲ و ۳ ارائه شده است. لازم به یادآوری است که بر روی هر کدام از نمونه‌ها ۵ آزمایش انجام شده و نتایج ارائه شده در این جدول میانگین مقادیر این آزمایشات هستند.

بر اساس طبقه‌بندی (Anon 1979) برای دانسیته و تخلخل، غالب نمونه‌ها در رده با دانسیته بالا (۲/۷۵-۲/۵۵) و متوسط (۲/۲-۲/۵۵) و.

جدول ۱- نام زمین‌شناسی و ترکیب کانی‌شناسی نمونه‌ها.

نام زمین‌شناسی	رد سنگ	توف شیشه‌ای فرجزاد (تهران)
شیشه آتشفشاری در حال تبلور مجدد به کوارتز (۰/۶۵) - کوارتز (۰/۲۵) - پلازیوکلارز (۰/۵) - فلدوپات پتاسیم (۰/۵)	آذرآواری	آذرآواری
میکرو اسپارایت (۰/۱۰۰)	دگرگونی	مرمر کرمان
زمینه میکرایت (۰/۷۵) - رگه‌های کلسیت اسپاری همراه با کانی‌های اوپک (۰/۲۵)	رسوی	سنگ آهک سمندج
کلسیت اسپارای (۰/۱۰۰)	دگرگونی	مرمر سرجان
کلسیت اسپاری و فسیل اسپاریتی شده (۰/۴۰) - زمینه میکرایت (۰/۳۰) - دولومیت (۰/۳۰)	رسوی	سنگ آهک اثارک (۱)
کلسیت اسپاری و فسیل اسپاریتی شده (۰/۵۵) - زمینه میکرایت (۰/۳۵) - دولومیت (۰/۱۰)	رسوی	سنگ آهک اثارک (۲)
کوارتز (۰/۵۰) - فلدوپات آکالان در حال تجزیه به سرسیت (۰/۳۰) - بیوپیت (۰/۱۰) - مسکوویت (۰/۱۰)	آذرین	آلکالی گرانیت مشهد
آمفیبول در حال تجزیه به کلریت (۰/۳۵) - پلازیوکلارز آلبیتی و پلیکلارزی (۰/۳۰) - گارنت (۰/۲۰) - اسفن (۰/۱۰) - اپیدوت (۰/۵)	دگرگونی	آلکالی گرانیت بیرجند
شیشه آتشفشاری (۰/۶۵) - خرد سنگ با ترکیب آندزیتی و تراکیتی (۰/۲۰) - شیشه آتشفشاری در حال تبلور جدد به کوارتز (۰/۱۰) - فلدوپات پتاسیم (۰/۵)	آذرین	ایگننبریت تائین
زمینه شیشه آتشفشاری (۰/۵۵) - فلدوپات آکالان (۰/۴۰) - پلازیوکلارز (۰/۱۰) - بیوپیت (۰/۵)	آذرین	داسیت بزد
کوارتز (۰/۴۵) - فلدوپات آکالان (۰/۴۰) - پلازیوکلارز (۰/۱۰) - بیوپیت (۰/۵)	آذرین	آلکالی گرانیت تایبیندان
زمینه میکرو اسپارایت (۰/۵۵) - اکسیدهای آهن (۰/۳۵) - کلسیت اسپارای (۰/۱۰)	رسوی	تراورتن ماکو
زمینه کوارتز و فلدوپات ریز بلور (۰/۶۵) - فلدوپات (۰/۱۵) - کوارتز (۰/۱۰) - بیوپیت (۰/۱۰)	آذرین	تراکیت سبزوار
کلسیت اسپارای (۰/۵۵) - زمینه میکرو اسپارای (۰/۴۵)	رسوی	تراورتن محلات

و ذوب آب را بررسی کردند. نتایج کار این محققین نشان داد مقادیر این ویژگی‌ها در چرخه‌های انجماد و ذوب آب با درجات مختلفی که به مقادیر اولیه هر یک از این ویژگی‌ها بستگی دارد، کاهش پیدا کرده اند. در این تحقیق با تهیه ۱۴ نمونه سنگ ساختمانی با منشاء‌های مختلف، ابتدا ویژگی‌های سنگ‌شناسی، فیزیکی و مهندسی آنها مورد بررسی قرار گرفته شده است. سپس ویژگی‌های مهندسی شامل مقاومت کششی برزیلین، مقاومت بار نقطه‌ای و سرعت موج P در چرخه‌های انجماد و ذوب آب مورد بررسی قرار گرفت.

مواد و روش‌ها

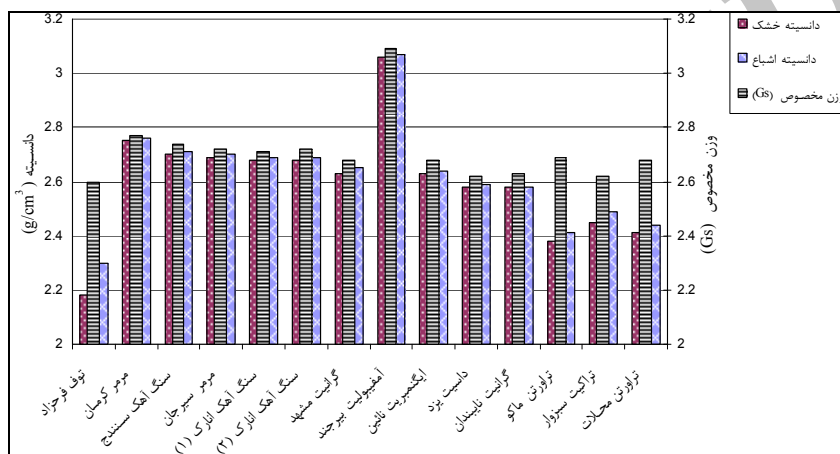
برای انجام تحقیق حاضر، ۱۴ بلوک سنگ ساختمانی متفاوت به ابعاد تقریبی ($40 \times 30 \times 30$ سانتیمتر) از کارخانه‌های سنگبری اطراف تهران تهیه شد و از آنها نمونه‌ها و مغزه‌های لازم با قطر NX برای انجام آزمایش‌های پیش‌بینی شده تهیه شد. در ادامه به بررسی‌های سنگ‌شناسی، ویژگی‌های فیزیکی شامل دانسیته، وزن مخصوص (GS)، تخلخل، جذب آب و ویژگی‌های مهندسی شامل مقاومت فشاری تک محوری، مقاومت کششی برزیلین، مقاومت بار نقطه‌ای و سرعت موج P آنها پرداخته شده است. به منظور بررسی تغییرات مقاومت کششی برزیلین، مقاومت بار نقطه‌ای و سرعت موج P نمونه‌ها در چرخه‌های انجماد و ذوب آب، آزمایش انجماد و ذوب آب تا ۳۰ چرخه انجام شد و بعد از هر ۵ چرخه مقادیر هر یک از این ویژگی‌ها بررسی شد.

بررسی‌های سنگ‌شناسی

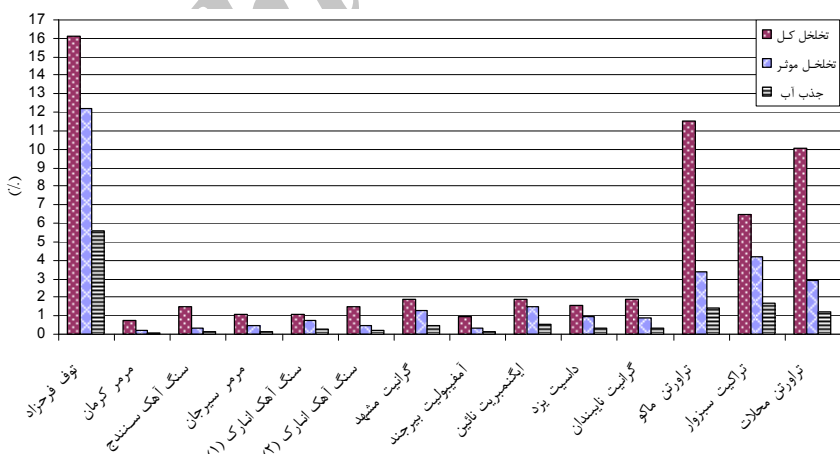
مطالعات پتروگرافی نه تنها اطلاعاتی در مورد ترکیب کانی‌شناسی و منشاء سنگ‌ها می‌دهند، بلکه در ارزیابی دوام سنگ‌ها در برابر عوامل فیزیکی مانند انجماد و ذوب آب نیز یک ابزار به شمار می‌آیند (Dreesen & Dusar 2004). دوام سنگ‌ها در برابر انجماد و ذوب آب

جدول ۲- نتایج آزمون تعیین ویژگی‌های فیزیکی نمونه‌ها.

نام زمین‌شناسی	دانسیته خشک (g/cm ³)	دانسیته اشباع (g/cm ³)	وزن مخصوص (Gs)	تخلخل مؤثر (%)	تخلخل کل (%)	جذب آب (%)	(%)
توف فرجزاد	۲/۱۸	۲/۳۰	۲/۶۰	۱۲/۲۱	۱۶/۱۵	۵/۶۱	
مرمر کرمان	۲/۷۵	۲/۷۶	۲/۷۷	۰/۲۲	۰/۷۲	۰/۰۸	
سنگ آهک سنندج	۲/۷۰	۲/۷۱	۲/۷۴	۰/۲۷	۱/۴۶	۰/۱۴	
مرمر سیرجان	۲/۶۹	۲/۷۰	۲/۷۲	۰/۴۴	۱/۱۰	۰/۱۶	
سنگ آهک آثارک (۱)	۲/۶۸	۲/۶۹	۲/۷۱	۰/۷۷	۱/۱۱	۰/۲۹	
سنگ آهک آثارک (۲)	۲/۶۸	۲/۶۹	۲/۷۲	۰/۴۶	۱/۴۷	۰/۱۷	
آلکالی گرانیت مشهد	۲/۶۳	۲/۶۵	۲/۶۸	۱/۲۶	۱/۸۷	۰/۴۸	
آمفیبولیت بیرجند	۳/۰۶	۳/۰۷	۳/۰۹	۰/۳۵	۰/۹۷	۰/۱۲	
اینکنبریت تائین	۲/۶۳	۲/۶۴	۲/۶۸	۱/۴۸	۱/۸۷	۰/۵۶	
داسیت یزد	۲/۵۹	۲/۵۹	۲/۶۲	۰/۹۶	۱/۵۳	۰/۳۷	
آلکالی گرانیت تایپندان	۲/۵۸	۲/۵۸	۲/۶۳	۰/۹۱	۱/۹۰	۰/۳۵	
تراووتن ماکو	۲/۳۸	۲/۴۱	۲/۶۹	۲/۳۶	۱۱/۵۲	۱/۴۱	
تراووتن سبزوار	۲/۴۵	۲/۴۹	۲/۶۲	۴/۱۵	۶/۴۹	۱/۶۹	
تراووتن محلات	۲/۴۱	۲/۴۴	۲/۶۸	۲/۹۳	۱۰/۰۷	۱/۲۲	



شکل ۲- نمودار ستونی دانسیته خشک، دانسیته اشباع و وزن مخصوص (Gs) نمونه‌ها.



شکل ۳- نمودار ستونی تخلخل مؤثر، تخلخل کل و جذب آب نمونه‌ها.

استاندارد ISRM (۱۹۸۱) استفاده شده است. نتایج آزمایشات فوق در جدول ۳ و شکل ۴ ارائه شده است. لازم به یادآوری است بر روی هر کدام از نمونه‌ها ۵ آزمایش در حالت اشباع انجام شده و نتایج ارائه شده در این جدول میانگین مقادیر این آزمایشات هستند.

با توجه به طبقه‌بندی سنگ‌ها بر اساس مقاومت فشاری تک محوری و

تخلخل خیلی پایین (کمتر از ۱ درصد) و پایین (۱-۵ درصد) قرار گرفته‌اند (Bell 2000) (جدول ۲ و شکل‌های ۲ و ۳).

ویژگی‌های مهندسی

برای تعیین ویژگی‌های مهندسی شامل مقاومت فشاری تک محوری، مقاومت کششی برزیلین، مقاومت بار نقطه‌ای و سرعت موج P از روش

از هر ۵ چرخه مقاومت کششی برزیلین، مقاومت بار نقطه‌ای و سرعت موج P تعیین شد. هر چرخه آزمایش از ۱۲ ساعت قرار دادن نمونه‌های اشباع در فریزر با دمای -20 ± 1 درجه سانتیگراد و به مدت ۱۲ ساعت در وان آب با دمای 20 ± 2 تشکیل شده است. شکل ۵ یک چرخه انجماد و ذوب آب را نشان می‌دهد. (شکل ۵) قبل از شروع چرخه های انجماد و ذوب آب، نمونه‌ها به مدت ۷۲ ساعت در وان آب برای اشباع شدن قرار داده شدند و در بازه های زمانی ۱۲ ساعت با تکان دادن وان آب به خروج حباب های هوای نمونه‌ها کمک شد. برای انجام آزمایش انجماد و ذوب آب از هر نوع سنگ ۶۰ نمونه با نسبت طول به قطر تقریباً ۵/۰ برای آزمایش های مقاومت کششی برزیلین و مقاومت بار نقطه‌ای و ۵ نمونه با نسبت طول به قطر تقریباً ۲ برای

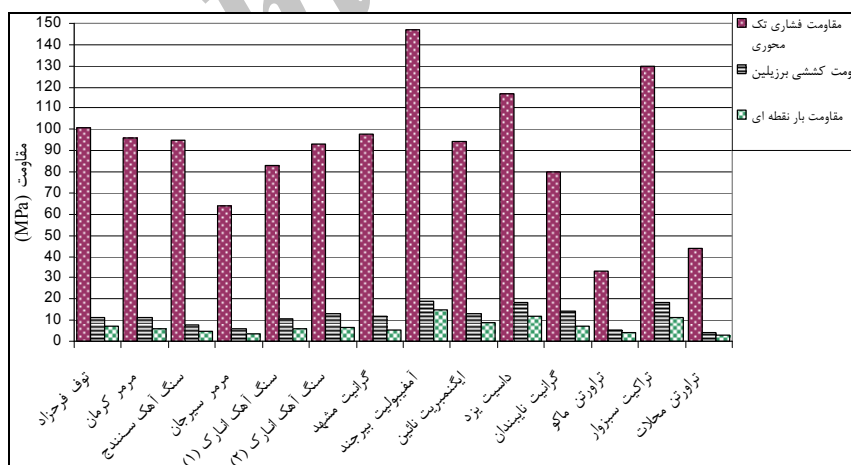
مقاومت بار نقطه‌ای توسط Bel و Franklin & Broch (1972) به جز تراورتن ماکو و تراورتن محلات در رده سنگ‌های با مقاومت خیلی بالا و شدیداً بالا قرار می‌گیرند. با توجه به طبقه بندی سنگ‌ها براساس سرعت موج P توسط Anon (1979) به Bell (2000)، توف فرخزاد در رده سنگ‌های با سرعت پایین (m/s 3500-2500)، تراورتن ماکو و تراورتن محلات در رده سنگ‌های با سرعت بالا (m/s 5000-4000) و سایر نمونه‌ها در رده سنگ‌های با سرعت خیلی بالا (بیش از m/s 5000) قرار می‌گیرند (جدول ۳ و شکل ۴).

انجماد و ذوب آب

در این تحقیق آزمایش انجماد و ذوب آب تا ۳۰ چرخه انجام شد و بعد

جدول ۳- نتایج آزمون تعیین ویژگی‌های مهندسی نمونه‌ها.

نام زمین‌شناسی	مقادیر فشاری تک محوری (MPa)	مقادیر بار نقطه‌ای (MPa) $I_{S(50)}$	سرعت موج P
توف فرخزاد	۱۰۱	۱۱۲	۳۷۲۰
مرمر کرمان	۹۶	۱۱۳	۵۵۱۳
سنگ آهک سمندج	۹۵	۷۸	۰۹۲۱
مرمر سیرجان	۶۴	۵۸	۰۵۲۱۰
سنگ آهک اثارک (۱)	۸۳	۱۰۵	۶۱۲۰
سنگ آهک اثارک (۲)	۹۳	۱۲۹	۶۰۶۰
آلاکالی گرانیت مشهد	۹۸	۱۲۱	۰۵۶۱
آمفیبولیت بیرجند	۱۴۷	۱۹۲	۶۶۱۰
ایگنومبریت نائین	۹۴	۱۲۹	۰۵۴۲۰
داسیت بزد	۱۱۷	۱۸۴	۰۵۷۲۱
آلکالی گرانیت ناییندان	۸۰	۱۴۵	۰۵۷۴۸
تراورتن ماکو	۳۳	۵۲	۴۷۵۰
تراکیت سبزوار	۱۳۰	۱۸۳	۰۵۳۹
تراورتن محلات	۴۴	۴۱	۴۹۵۰

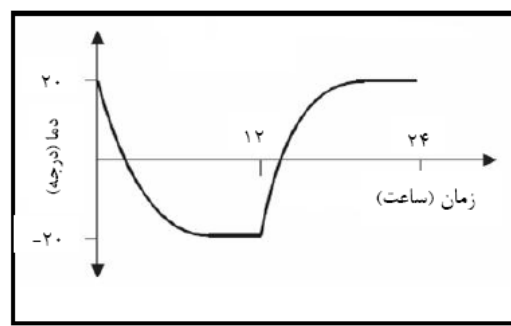


شکل ۴- نمودار ستونی ویژگی‌های مهندسی نمونه‌ها.

تفعیرات ویژگی‌های مهندسی در چرخه های انجماد و ذوب آب در شکل های ۶ تا ۱۲ تفعیرات مقاومت کششی برزیلین، مقاومت بار نقطه‌ای و سرعت موج P نمونه‌ها با افزایش تعداد چرخه های انجماد و ذوب آب آورده شده است. همانطور که مشاهده می شود با افزایش تعداد چرخه ها مقادیر هر یک از این ویژگی‌ها کاهش پیدا کرده است.

آزمایش سرعت موج P تهیه شد و آزمایش ها مطابق استاندارد ISRM (۱۹۸۱) انجام شد. در جدول ۴ مقادیر مقاومت کششی برزیلین، مقاومت بار نقطه‌ای و سرعت موج P در چرخه صفر (حالت بکر)، چرخه ۳۰ و درصد کاهش هر یک از این ویژگی‌ها در چرخه ۳۰ نسبت به چرخه صفر (حالت بکر) ارائه شده است (جدول ۴).

دهد که باعث ایجاد فشار در داخل حفرات و ریز ترک‌های نمونه‌ها می‌شود، در نتیجه موجب بزرگتر شدن اندازه حفرات و ریز ترک‌ها و توسعه بیشتر آنها و تخریب بافت سنگ می‌شود. با بزرگتر شدن اندازه حفرات و ریز ترک‌ها، نمونه‌ها ضعیف‌تر و سست‌تر می‌شوند و باعث کاهش هر یک از این ویژگی‌ها می‌شوند. نتایج به دست آمده از سرعت موج P به دلیل غیر مخرب بودن و یکنواخت بودن اعمال انرژی در طی انجام آزمایش تعیین سرعت موج P ، ارزیابی دقیق‌تر و بهتری از تغییرات ویژگی‌های نمونه‌ها، نسبت به مقاومت کششی بزرگ‌بیلین و مقاومت بار نقطه‌ای می‌دهد. از این رو می‌توان با توجه به تغییرات

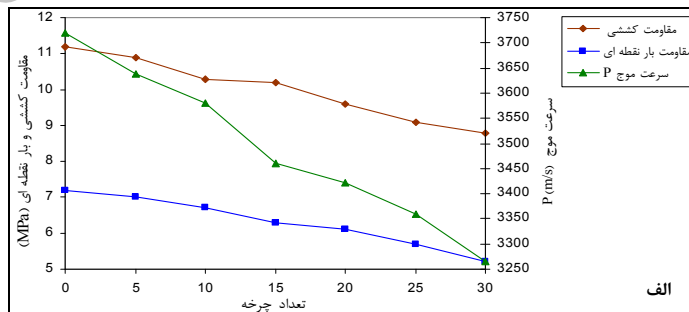
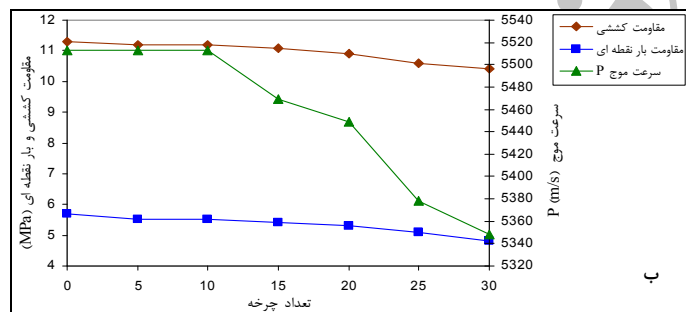


شکل ۵- یک چرخه انجماد و ذوب آب (Mutluturk et al. 2004)

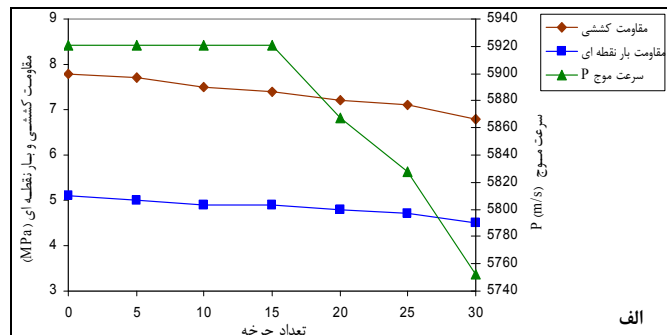
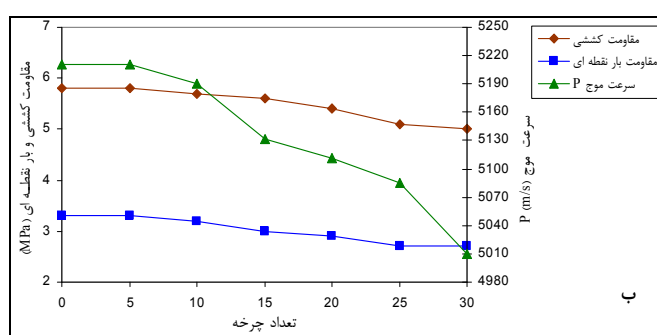
در واقع با تبدیل شدن آب به یخ حدود ۹ درصد افزایش حجم رخ می-

جدول ۴- ویژگی‌های مهندسی نمونه‌ها در چرخه صفر (بکر)، چرخه ۳۰ و درصد کاهش در چرخه ۳۰ نسبت به چرخه صفر (بکر) در آزمایش انجماد و ذوب آب.

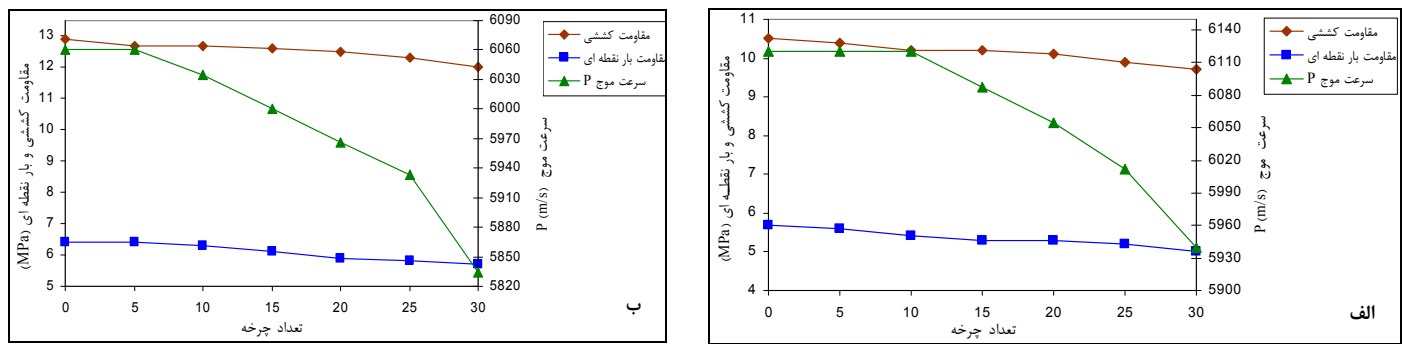
	P (m/s)	سرعت موج		مقاومت بار نقطه‌ای (MPa)		مقاومت کششی بزرگ‌بیلین (MPa)		ویژگی مهندسی
		درصد کاهش	چرخه صفر	درصد کاهش	چرخه صفر	درصد کاهش	چرخه صفر	
۱۲/۲	۳۶۵	۳۷۰	۲۷/۸	۵/۲	۷/۲	۲۱/۴	۸/۸	۱۱/۲
۳	۵۳۴۸	۵۵۱۳	۱۶/۸	۴/۸	۵/۷	۸	۱۰/۴	۱۱/۳
۲/۹	۵۷۵۲	۵۹۲۱	۱۱/۸	۴/۵	۵/۱	۱۲/۸	۶/۸	۷/۸
۳/۸	۵۰۱۰	۵۲۱۰	۱۸/۲	۲/۷	۳/۳	۱۳/۸	۵	۵/۸
۳	۵۹۷۹	۶۱۲۰	۱۷/۳	۵	۵/۷	۷/۶	۹/۷	۱۰/۵
۳/۷	۵۸۳۴	۶۰۶۰	۱۰/۹	۵/۷	۶/۴	۷	۱۳	۱۲/۹
۹/۱	۵۱۴۶	۵۶۶۱	۲۱/۶	۴	۵/۱	۱۶/۵	۱۰/۱	۱۲/۱
۴/۳	۶۲۲۹	۶۶۰	۵/۶	۱۴/۱	۱۴/۹	۲/۲	۱۸/۴	۱۹/۲
۶/۵	۵۶۸	۵۹۲۰	۱۸/۱	۷/۲	۸/۹	۱۵/۵	۱۰/۹	۱۲/۹
۲/۹	۵۵۵۶	۵۷۲۱	۵/۸	۱۱/۳	۱۲	۲/۲	۱۷/۸	۱۸/۴
۳/۱	۵۵۷۱	۵۷۴۸	۸/۶	۶/۴	۷	۴/۱	۱۳/۹	۱۴/۵
۱۰/۶	۴۲۴۵	۴۷۵۰	۴۲/۵	۲/۳	۴/۳	۵/۱۹	۲/۵	۵/۲
۷/۳	۴۹۹۴	۵۱۹۰	۱۱/۶	۹	۱۱/۲	۱۶/۴	۱۵/۳	۱۸/۳
۱۱/۱	۴۴۰۰	۴۹۵۰	۴۴/۴	۱/۵	۲/۷	۳۶/۶	۲/۶	۴/۱



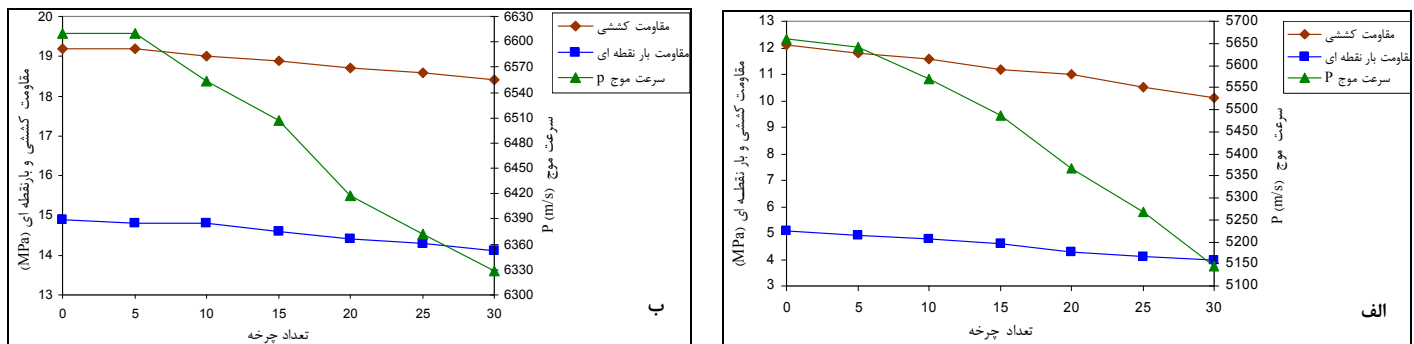
شکل ۶- تغییرات ویژگی‌های مهندسی نمونه‌ها با افزایش تعداد چرخه‌های انجماد و ذوب آب الف توف فرخزاد ب مرمر کرمان.



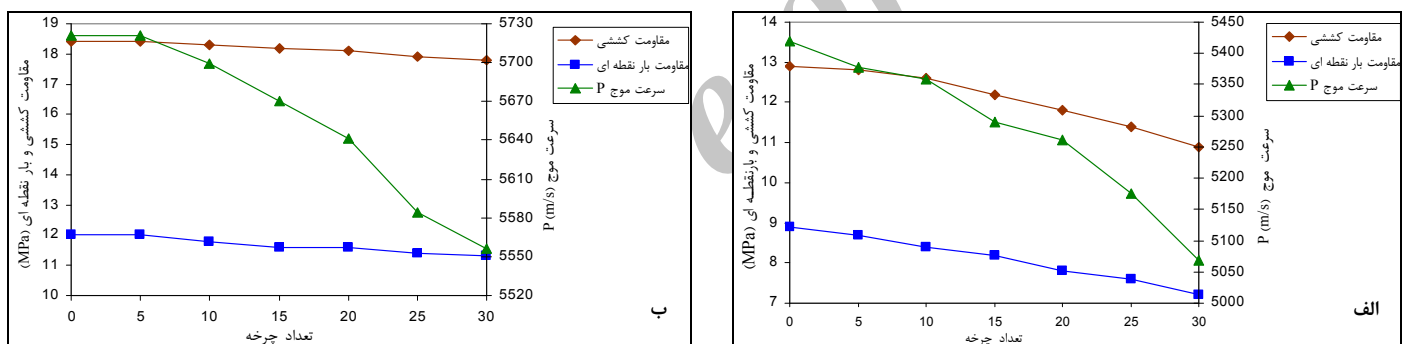
شکل ۷- تغییرات ویژگی‌های مهندسی نمونه‌ها با افزایش تعداد چرخه‌های انجماد و ذوب آب الف- سنگ آهک سنندج ب- مرمر سیرجان.



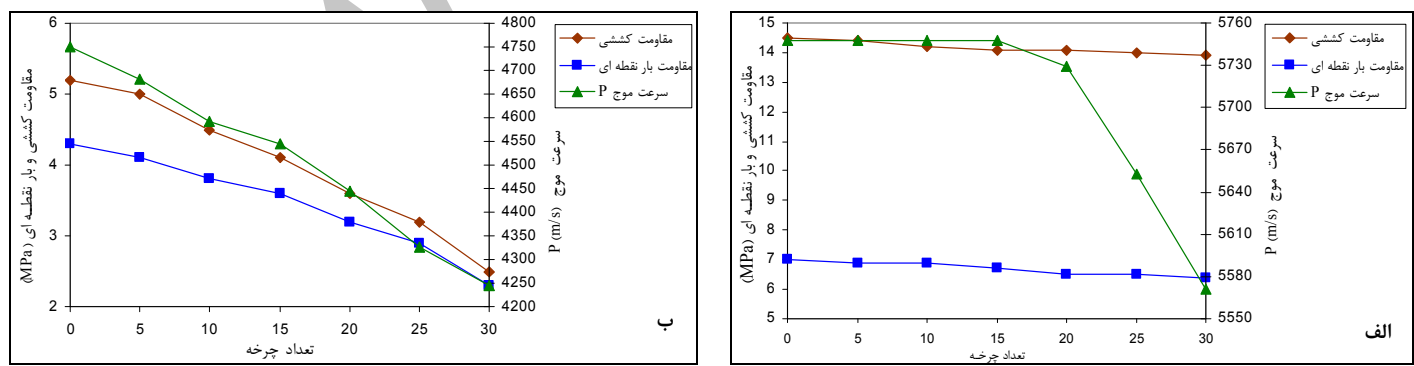
شکل ۸- تغییرات ویژگی‌های مهندسی نمونه‌ها با افزایش تعداد چرخه‌های انجاماد و ذوب آب الف- سنگ آهک انارک (۱) ب- سنگ آهک انارک (۲).



شکل ۹- تغییرات ویژگی‌های مهندسی نمونه‌ها با افزایش تعداد چرخه‌های انجاماد و ذوب آب الف- آلکالی گرانیت مشهد ب- آمفیبولیت بیرجند.



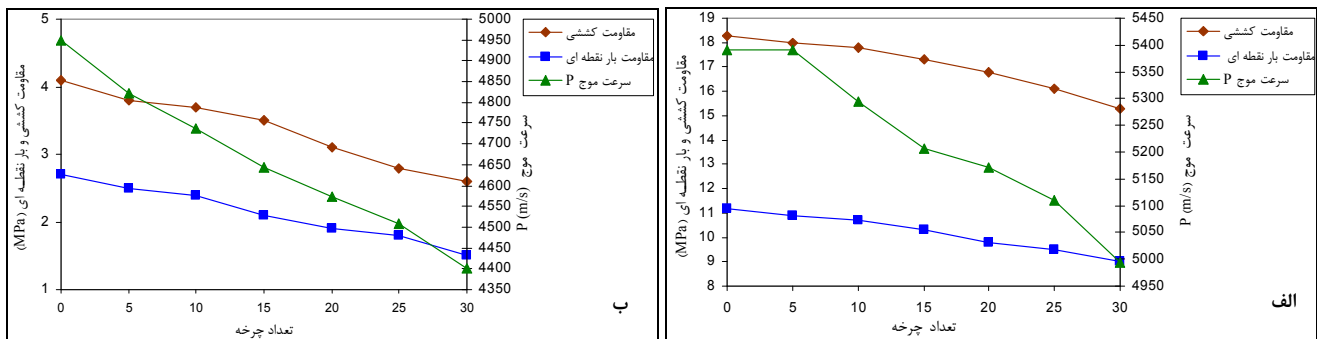
شکل ۱۰- تغییرات ویژگی‌های مهندسی نمونه‌ها با افزایش تعداد چرخه‌های انجاماد و ذوب آب الف- ایگنمریت نائین ب- داسیت یزد.



شکل ۱۱- تغییرات ویژگی‌های مهندسی نمونه‌ها با افزایش تعداد چرخه‌های انجاماد و ذوب آب الف- آلکالی گرانیت نایبندان ب- تراورتن ماکو.

در آزمایش انجاماد و ذوب آب استفاده کرد (شکل‌ای ۶ تا ۱۲). Yavuz et al. (2006) ویژگی‌های مهندسی سنگ‌های سنگی کربناته شامل

سرعت موج P به عنوان پارامتری برای تغییرات سایر ویژگی‌های هندسی نمونه‌ها مانند مقاومت کششی بروزیلین و مقاومت بار نقطه‌ای



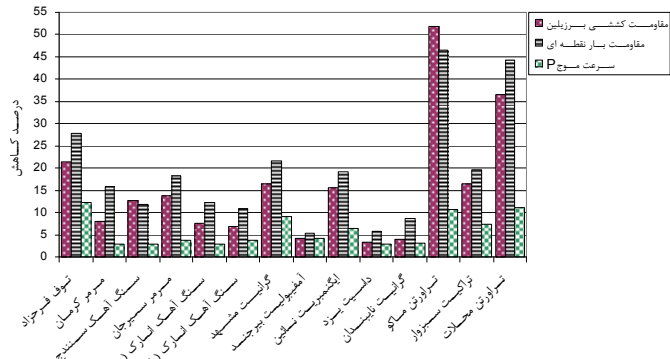
شکل ۱۲- تغییرات ویژگی‌های مهندسی نمونه‌ها با افزایش تعداد چرخه‌های انجاماد و ذوب آب - تراویرتن محلات.

داسیت یزد به ترتیب با $5/4$ و $5/8$ درصد است. با توجه به شکل ۱۳ و جدول ۴ کاهش سرعت موج P نمونه‌ها از $2/9$ تا $12/2$ درصد تغییر می‌کند. بیشترین کاهش سرعت موج P مربوط به توف فرخزاد با $12/2$ درصد و کمترین مربوط به داسیت یزد و آمفیبولیت بیرجند به ترتیب با $2/9$ و $3/1$ درصد است. بر اساس درصد کاهش ویژگی‌های مهندسی نمونه‌ها در چرخه‌های انجاماد و ذوب آب، داسیت یزد، آمفیبولیت بیرجند و آلکالی گرانیت نایبندان مناسب‌ترین سنگ‌ها برای استفاده در مناطقی با احتمال یخبندان بالا مانند تبریز، اردبیل، همدان، مشهد و همچنین سایر مناطقی از ایران که احتمال یخبندان وجود دارد هستند.

سرعت موج P، مقاومت فشاری تک محوری و سختی چکش اشمیت را تا 20 چرخه انجاماد و ذوب آب مورد بررسی قرار دادند. نتایج این محققین نیز نشان داد که با افزایش چرخه‌های انجاماد و ذوب آب مقادیر هر یک از این ویژگی‌ها کاهش پیدا می‌کند. نتایج تحقیقات Ruedrich & Siegesmund (2007) روی ماسه سنگ‌ها نیز نشان داد که با افزایش تعداد چرخه‌های انجاماد و ذوب آب تا 10.5 چرخه، سرعت موج P کاهش پیدا می‌کند. بررسی ویژگی‌های مهندسی نمونه‌هایی از توف شامل سرعت موج P و S و مقاومت فشاری تک محوری تا 5.2 چرخه انجاماد و ذوب آب توسط Topal & Doyuran (1998) نشان داد که مقادیر هر یک از این ویژگی‌ها، با افزایش چرخه‌های آزمایش کاهش پیدا می‌کند. نتایج بررسی مقاومت فشاری تک محوری سنگ آهک تا 25 چرخه انجاماد و ذوب آب توسط Turgut et al. (2008) نیز نشان داد که با افزایش چرخه‌ها مقدار این ویژگی کاهش پیدا می‌کند.

شکل ۱۳ مقادیر درصد کاهش مقاومت کششی برزیلین، مقاومت بار نقطه‌ای و سرعت موج P نمونه‌ها در چرخه 30 نسبت به چرخه صفر (حالت بکر) را نشان می‌دهند. همان طور که از این شکل مشاهده می‌شود مقدار کاهش این ویژگی‌ها برای هر نمونه با نمونه دیگر متفاوت است. این موضوع به دلیل متفاوت بودن منشاء سنگ، ترکیب کانی‌شناسی، انبساط و انقباض کانی‌ها در برابر تغییرات دما، تخلخل، اندازه و شکل حفرات، پیوستگی حفرات با همدیگر و توزیع اندازه حفرات نمونه‌ها با همدیگر است. با توجه به شکل ۱۳ و جدول ۴ کاهش مقاومت کششی برزیلین نمونه‌ها از $3/3$ تا $51/9$ درصد تغییر می‌کند. بیشترین کاهش مقاومت کششی مربوط به تراویرتن ماکو و تراویرتن محلات به ترتیب با $51/9$ و $36/6$ درصد و کمترین مربوط به داسیت یزد به ترتیب با $3/3$ درصد است (شکل ۱۳).

همانطور که از شکل ۱۳ و جدول ۴ مشاهده می‌شود کاهش مقاومت بار نقطه‌ای نمونه‌ها از $5/4$ تا $46/5$ درصد تغییر می‌کند. بیشترین کاهش مقاومت بار نقطه‌ای مربوط به تراویرتن ماکو و تراویرتن محلات به ترتیب با $46/5$ و $44/4$ درصد و کمترین مربوط به آمفیبولیت بیرجند و

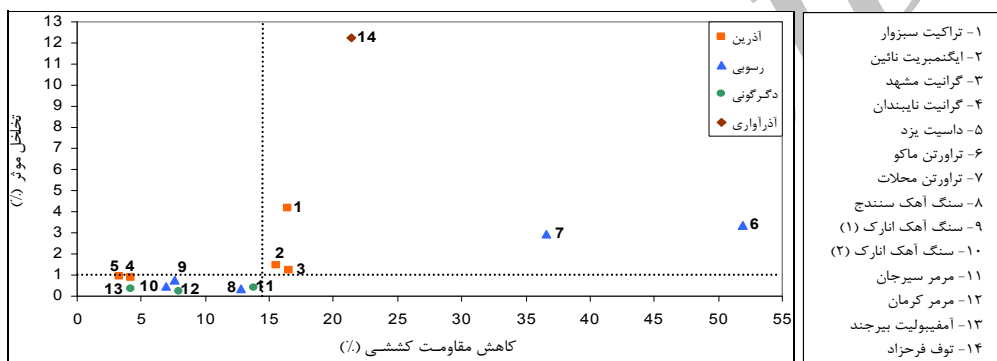
شکل ۱۳- نمودار ستونی درصد کاهش ویژگی‌های مهندسی نمونه‌ها در چرخه 30 نسبت به چرخه صفر.

رابطه تخلخل مؤثر با تغییرات ویژگی‌های مهندسی در چرخه‌های انجاماد و ذوب آب

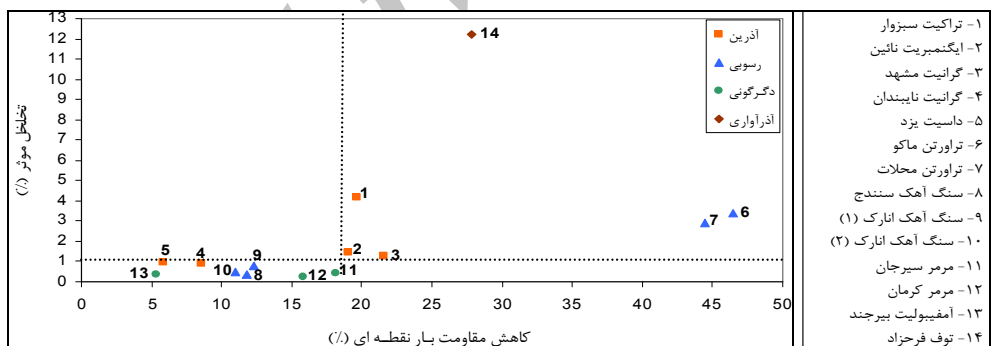
از آنجایی که تخلخل مؤثر نقش مهمی در عمل انجاماد و ذوب آب دارد در این بخش از تحقیق به بررسی رابطه بین تخلخل مؤثر با تغییرات ویژگی‌های مهندسی نمونه‌ها پرداخته شده است. برای به دست آوردن تخلخل مؤثر (ne)، ابتدا جرم خشک نمونه‌ها (md) اندازه‌گیری شد. در ادامه جرم اشباع نمونه‌ها (msat) بعد از 72 ساعت اشباع شدن در آب و سپس جرم غوطه ور نمونه‌ها (msub) با استفاده از قانون ارشمیدوس (msub)-(msat/md)-ne = اندازه‌گیری شد. در پایان با استفاده از رابطه

برزیلین، مقاومت بار نقطه‌ای و سرعت موج P بوده اند دارای ترکیب کانی‌شناسی و منشاء‌های متفاوتی هستند. این موضوع نشان می‌دهد تخلخل مؤثر نقش مهمتری نسبت به ترکیب کانی‌شناسی و منشاء سنگ در تغییرات ویژگی‌های مهندسی نمونه‌ها در اثر عمل انجماد و ذوب آب دارد. در بین نمونه‌های رسوی بیشترین کاهش در ویژگی‌های مهندسی در تراوerten محلات و تراوerten ماکو رخ داده است. با توجه به ترکیب کانی‌شناسی و منشاء مشابه نمونه‌های رسوی مورد مطالعه، بیشتر بودن کاهش در ویژگی‌های مهندسی تراوerten محلات و تراوerten ماکو به دلیل بیشتر بودن تخلخل مؤثر آنها و در نتیجه تسهیل کردن نفوذ آب به درون سنگ و نهایتاً باعث اعمال تنفس بیشتر به حفرات و ریز‌ترک‌های سنگ است. (شکل‌های ۱۴ تا ۱۶).

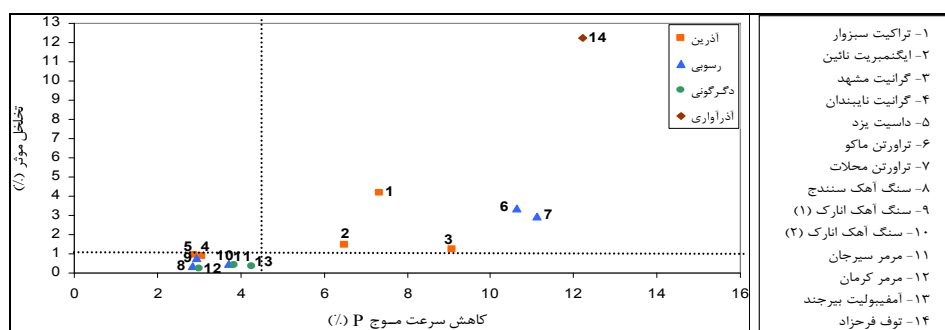
(msat در شکل‌های ۱۴ تا ۱۶ نمودار تخلخل مؤثر در مقابل کاهش ویژگی‌های مهندسی نمونه‌ها در چرخه ۳۰ نسبت به چرخه صفر (حالت بکر) آورده شده است. همان طور که از این شکل‌ها مشاهده می‌شود نمونه‌های با تخلخل مؤثر بالاتر از ۱ درصد، کاهش بیشتری در مقاومت کششی برزیلین، مقاومت بار نقطه‌ای و سرعت موج P آنها رخ داده است. با توجه به این که رابطه مستقیمی بین تخلخل مؤثر و جذب آب وجود دارد، در اثر انجماد و ذوب آب نمونه‌هایی که جذب آب بیشتری دارند فشار بیشتری به حفرات و ریز‌ترک‌های آنها اعمال می‌شود در نتیجه مقاومت کششی برزیلین، مقاومت بار نقطه‌ای و سرعت موج P کاهش بیشتری خواهد داشت. همچنین مشاهده می‌شود نمونه‌هایی که دارای بیشترین کاهش در مقاومت کششی



شکل ۱۴- نمودار درصد کاهش مقاومت کششی نمونه‌ها در چرخه ۳۰ نسبت به چرخه صفر در مقابل تخلخل مؤثر.



شکل ۱۵- نمودار درصد کاهش مقاومت بار نقطه‌ای نمونه‌ها در چرخه ۳۰ نسبت به چرخه صفر در مقابل تخلخل مؤثر.



شکل ۱۶- نمودار درصد کاهش سرعت موج P نمونه‌ها در چرخه ۳۰ نسبت به چرخه صفر در مقابل تخلخل مؤثر.

۳- با توجه به نتایج به دست آمده از چرخه‌های انجماد و ذوب آب و تخلخل مؤثر نمونه‌ها، نمونه‌هایی که تخلخل مؤثر بالاتر از ۱ درصد داشته‌اند، کاهش بیشتری در مقاومت کششی برزیلین، مقاومت بار نقطه‌ای و سرعت موج P آنها رخ داده است. با توجه به این که رابطه مستقیمی بین تخلخل مؤثر و جذب آب وجود دارد. در اثر انجماد و ذوب آب نمونه‌هایی که جذب آب بیشتری دارند فشار بیشتری به حفرات و ریزترک‌های آنها اعمال می‌شود در نتیجه مقاومت کششی برزیلین، مقاومت بار نقطه‌ای و سرعت موج P کاهش بیشتری خواهد داشت.

۴- نمونه‌هایی که دارای بیشترین کاهش در مقاومت کششی برزیلین، مقاومت بار نقطه‌ای و سرعت موج P بوده اند دارای ترکیب کانی‌شناسی و منشاء‌های متفاوتی هستند. این موضوع نشان می‌دهد تخلخل مؤثر نقش مهمتری نسبت به ترکیب کانی‌شناسی و منشاء سنگ در تغییرات ویژگی‌های مهندسی نمونه‌ها در اثر عمل انجماد و ذوب آب دارد.

۵- با توجه به کاهش مقاومت کششی برزیلین، مقاومت بار نقطه‌ای و سرعت موج P نمونه‌ها در آزمایش انجماد و ذوب آب، داسیت بزد، آمفیبولیت بیرجند و آلکالی گرانیت ناییندان مناسب‌ترین سنگ‌ها برای استفاده در مناطقی مانند تبریز، اردبیل، همدان، مشهد و سایر مناطقی که احتمال یخ‌بندان وجود دارد، هستند.

تشکر و قدردانی

در پایان از مسئولین آزمایشگاه زمین شناسی مهندسی دانشگاه تربیت مدرس به خاطر همکاری در طول انجام این تحقیق تشکر و قدردانی می‌کنیم.

نتیجه گیری

در تحقیق حاضر به بررسی ویژگی‌های مهندسی (مقاومت کششی برزیلین، مقاومت بار نقطه‌ای و سرعت موج ۱۴ P) نمونه سنگ ساختمانی مختلف در چرخه‌های انجماد و ذوب آب پرداخته شد. نتایج نشان داد با افزایش چرخه‌های انجماد و ذوب آب مقادیر هر یک از این ویژگی‌ها کاهش پیدا کرده است. همچنین نتایج نشان داد تخلخل مؤثر نقش مهمی در تغییرات ویژگی‌های مهندسی نمونه‌ها در چرخه‌های انجماد و ذوب آب دارد. در تحقیق حاضر، نتایج زیر حاصل شد:

۱- با توجه به نتایج آزمایش انجماد و ذوب آب، کاهش مقاومت کششی برزیلین نمونه‌ها بین $\frac{۳}{۳} / \frac{۹}{۹}$ تا $\frac{۵}{۱} / \frac{۶}{۵}$ درصد، مقاومت بار نقطه‌ای بین $\frac{۲}{۹} / \frac{۴}{۶}$ تا $\frac{۱۲}{۲} / \frac{۵}{۴}$ درصد و سرعت موج P بین $\frac{۲}{۹} / \frac{۴}{۶}$ تا $\frac{۱۲}{۲} / \frac{۵}{۴}$ درصد در چرخه ۳۰ نسبت به چرخه صفر (حالت بکر) تغییر می‌کند. این موضوع به دلیل متفاوت بودن منشاء سنگ، ترکیب کانی‌شناسی، انبساط و انقباض کانی‌ها در برابر تغییرات دما، تخلخل، اندازه و شکل حفرات، پیوستگی حفرات با همدیگر و توزیع اندازه حفرات نمونه‌ها با همدیگر است.

۲- نتایج به دست آمده از سرعت موج P به دلیل غیر مخرب بودن و یکنواخت بودن اعمال انرژی در طی آزمایش تعیین سرعت موج P، ارزیابی دقیق تر و بهتری از تغییرات ویژگی‌های نمونه‌ها، نسبت به مقاومت کششی برزیلین و مقاومت بار نقطه‌ای می‌دهد. از این رو می‌توان با توجه به تغییرات سرعت موج P به عنوان پارامتری برای تغییرات سایر ویژگی‌های مهندسی نمونه‌ها مانند مقاومت کششی برزیلین و مقاومت بار نقطه‌ای در آزمایش انجماد و ذوب آب استفاده کرد.

منابع:

- Bell F.G. 2000: Engineering Properties of Soils and Rocks. Blackwell Science. 482 p.
- Bell F.G. 2004: Engineering Geology and Construction. Spon Press. 797 p.
- Chen T.C., Yeung M.R., Mori N. 2004: Effect of water saturation on deterioration of welded tuff due to freeze-thaw action. *Cold Regions Sci Technol.* **38:** 127-136.
- Dreesen R., Dusar M. 2004: Historical building stones in the province of Limburg (NE Belgium): role of petrography in provenance and durability assessment. *Materials Characterization.* **53:** 273– 287.
- I.S.R.M. Rock characterization, Testing and Monitoring 1981: In: Brown ET. editor. ISRM suggested methods.Oxford: Pergamon Press; 211p.
- Hale P.A., Shakoor A. 2003: A laboratory investigation of the effects of cyclic heating and cooling, wetting and drying, and freezing and thawing on the compressive strength of selected sandstones. *Environ Eng Geosci.* **9:** 117-130.
- Mutlтурk M., Altıdag R., Turk G. 2004: A decay function model for the integrity loss of rock when subjected to recurrent cycles of freezing-thawing and heating-cooling. *Int J Rock Mech & Min Sci.* **41:** 237-244.
- Ruedrich J., Siegesmund S. 2007: Salt and ice crystallization in porous sandstones. *Environ Geol.* **52:** 225-249.
- Topal T., Doyuran V. 1998: Analyses of deterioration of the Cappadocian tuff, Turkey. *Environ Geol.* **34(1):** 5-20 .
- Turgut P., Yesilnacar M., Bulut H. 2008: Physico-thermal and mechanical properties of Sanliurfa limestone, Turkey. *Bull Eng Geol Environ.* **67:** 485-490.
- Winkler E. M. 1994: Stone in architecture, properties, durability. Springer-Verlag. 313p.
- Yavuz H., Altindag R., Sarac S., Ugur I., Sengun N. 2006: Estimating the index properties of deteriorated carbonate rocks due to

freeze-thaw and thermal shock weathering. *Int J Rock Mech & Min Sci.* **43:** 767-775.

Archive of SID